

Sbor. geol. věd	Technologie, geochemie, 24	Str. 153–180	18 obr.	8 tab.	4 příl.	Praha 1989 ISSN 0036–5300
--------------------	-------------------------------	-----------------	------------	-----------	------------	------------------------------

Pyrolýza uhlí ostravsko-karvinského revíru

Pyrolysis of coal in the Ostrava-Karviná district

Pavel Straka¹

Předloženo 13. července 1987

1 : 50 000
15-43

Pyrolysis
Coal
Coke
Gas
Tar
Textures

Straka, P. (1989): Pyrolýza uhlí ostravsko-karvinského revíru. — Sbor. geol. Věd, Technol. Geochem., 24, 153–180. Praha.

Výtah: Modelová pyrolýza, hůře koksovateľného uhlí ostravsko-karvinského revíru ukázala, že rychlosť ohřevu uheľné vsázkys ovlivňuje distribuci uheľné hmoty mezi produkty, predevším mezi plyn a deht, dalej pôrovitost koksu, pôrovitost hrubých pôr, strukturnú pevnosť koksu a tloušťku stien pôr. Fyzikálne vlastnosti vzniklého plynu ovplyvňuje rychlosť ohřevu málo, naproti tomu hustota a složenie dehtu sa dosti menej se zmienou tohto parametru. Hustota vsázkys má zásadný vliv na pôrovitost hrubých pôr (tj. i na reaktivitu koksu), jak ukázala analýza obrazu lomových ploch koksu, a také na tloušťku stien pôr, což je významné pro hodnocenie mechanických vlastností koksu po reakci s CO₂ pri vysokopečnom procesu. Zvýšená hustota vsázkys mela za následek zvýšenú hustotu vzniklého dehtu a zmene jeho složenia, fyzikálne vlastnosti a složenie plynu se menej jen málo.

¹ Ústav geologie a geotechniky ČSAV, V Holešovičkách 41, 182 09 Praha 8

Úvod

Aplikovaná geochemie kaustobiolitů, zejména uhlí, úzce souvisí s problematicou technologie paliv. Například koksovateľnosť uhlí je spjata s otázkou vzniku a vývoje uhlí. Z praktického hlediska je v oblasti využití kaustobiolitů velmi důležitý koksovorný proces. Proto byla do sborníku zařazena i práce, která zasahuje do oboru technologie paliv, avšak je v přímé návaznosti na technologicko-geochemické pojetí výzkumu vlastností uhlí.

Charakter československé surovinové základny pro koksování, která obsahuje i okrajové, hůře koksovateľné typy uhlí, staví v otázce výroby kvalitního koksu intenzifikovaným komorovým koksováním do popředí

problémy vlivu hustoty vsázky, šířky komory a rychlosti ohřevu na mechanické vlastnosti koksu a množství i složení dehtu a plynu. K těmto problémům se můžeme vyslovit na experimentální bázi tehdy, budeme-li pokusy koksování uskutečňovat za definovaných podmínek, se záhytem všech produktů, a jejich hodnocení provádět v nejširším možném rozsahu. Tyto požadavky kladou na pokusy prováděné v poloprovozním měřítku značné ekonomické, organizační i konstrukční nároky, zatímco v laboratorním měřítku jsou uskutečnitelné bez zásadních obtíží. V tomto případě však mohou být výsledky použitelné pro praktické účely tehdy, jsou-li pokusy vedeny srovnávacím způsobem a zaměřeny na stanovení trendů a tendencí.

V daném případě jsme prováděli pokusy na modelové koksovací jednotce se záhytem těkavých produktů a programovatelným režimem ohřevu vsázky. K laboratornímu koksování jsme vybrali hůře koksovatelné uhlí kódů 422, přičemž hustotu vsázky jsme volili s ohledem na stávající, nejvíce používaný způsob přípravy v československých podmínkách — sypaná vlhká vsázka — a na perspektivní způsob — zhuštěná vsázka, např. předehrátá, modelovaná suchou sypanou vsázkou. K otázce šířky komory se nelze na základě laboratorního koksování zodpověďně vyslovit, je však možné sledovat snížení hustoty vlhké vsázky vlivem malé šířky reaktoru.

Cílem této práce je vystihnout vliv rychlosti ohřevu a hustoty vsázky uhlí kódů 422 na fyzikální vlastnosti a chemické složení získaného koksu, plynu a dehtu, podat hmotnostní bilanci laboratorního koksování a poskytnout informaci o tvorbě struktury koksu v rámci systematického sledování uhlí ostravsko-karvinského revíru z tohoto hlediska.

Experimentální část

K pokusům jsme použili 23 vzorků uhlí uvedeného kódu z Dolu Československá armáda, ostravsko-karvinský revír. Koksovací vlastnosti, výsledky technické a elementární analýzy, spalné teplo a výhřevnost a petrografický rozbor uvádí tabulka 1.

Vzorky o hmotnosti okolo 500 g a zrnitosti pod 3 mm (střední zrno 0,90 mm) byly odplyňovány v křemenném reaktoru o vnitřním průměru 65 mm, přičemž vsázka měla tvar válcové vrstvy o tloušťce 20–22 mm. Čtrnáct vzorků bylo připraveno jako sypaná suchá vsázka (W_t^r okolo 1 %) a 9 jako sypaná vlhká vsázka (W_t^r asi 11 %). Reaktor o výšce 40 cm byl svisle umístěn v trubkové elektrické peci, takže výška uhelné vrstvy byla v případě suché vsázky 22,5 cm a v případě vlhké vsázky 29,5 cm. Teplota byla automaticky snímána ve třech bodech v ose uhelné vrstvy,

Tabuľka 1

Charakteristika uhlí kódu 422 z Dolu Československá armáda,
ostravsko-karvinský revír

koksovací vlastnosti	prchavá hořlavina Vdaf [%]	27,29
	index puchnutí	3,5
	dilat. zkouška	a 17 b —14
technická analýza	voda Wa [%]	0,94
	popeł Ad [%]	5,50
	síra Std [%]	0,62
elementární analýza	Hdaf [%]	4,96
	Cdaf [%]	88,79
	Sodaf [%]	0,42
	Ndaf [%]	1,32
	Oodaf [%]	4,51
petrografický rozbor	vitrinit [%]	42
	exinit [%]	6
	inertinit [%]	52
	střední odraznost [%]	1,14
spalné teplo (MJ/kg) ^{a)}		33,76
výhřevnost (MJ/kg) ^{a)}		32,73

^{a)} bezvodý vzorek

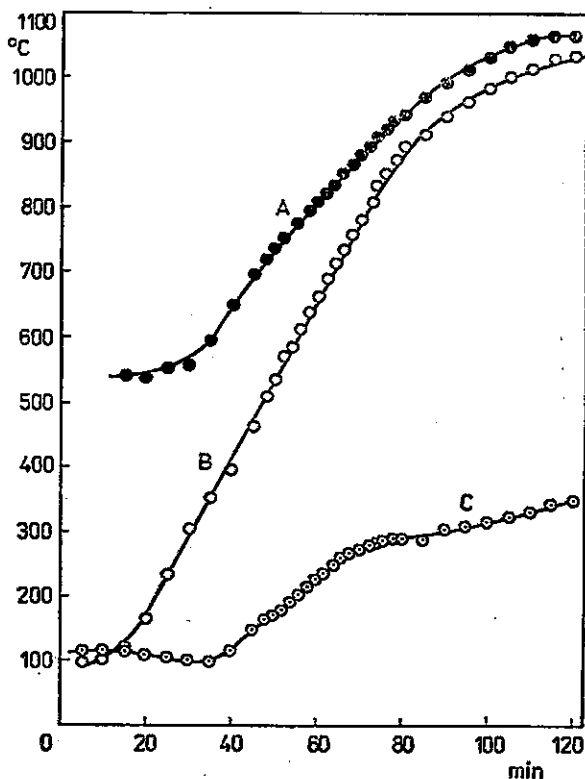
třech bodech topné stěny a v jednom bodě v prostoru 4 cm pod zátkou reaktoru, v intervalech 2—10 min podle zvolené rychlosti ohřevu. Těkavé produkty pyrolýzy byly vedeny z reaktoru do absorbéra s kovovými spirálami smáčenými protiproudem acetonu a chlazeným etanolem o teplotě —20 až —35 °C na počátku pokusu. Zde se z proudu surového plynu odděloval surový dehet a voda. Tyto produkty byly zachycovány v jímací baňce. Účinnost oddělování surového dehtu byla kontrolována pomocí válcového adsorbéra s aktivním uhlím podle ČSN 38 5526, umístěného za absorbér s kovovými spirálami. Uhlovodíky, které se nezachytily v absorbéru se spirálami, byly sorbovány aktivním uhlím a po jejich vystabilování přehřátou párou chromatograficky stanoveny. Množství nezachycených uhlovodíků bylo velmi malé, takže účinnost oddělování surového dehtu byla lepší než 99 %. (Teplota chladícího etanolu v průběhu pokusu stoupala a podmínkou pro dosažení uvedené vysoké účinnosti oddělování bylo, že nepřekročila 0 °C.)

Pyrolýzní plyn byl jímán ve vodním plynometru o objemu 200 dm³. Vzorky pro sledování vývinu jednotlivých složek plynu byly odebírány na vstupu plynometru v intervalech 2—10 min podle zvolené rychlosti ohřevu. Fyzikální konstanty celkového získaného pyrolýzního plynu byly určovány podle ČSN 38 5509 (Konstanty technických plynů). Složky

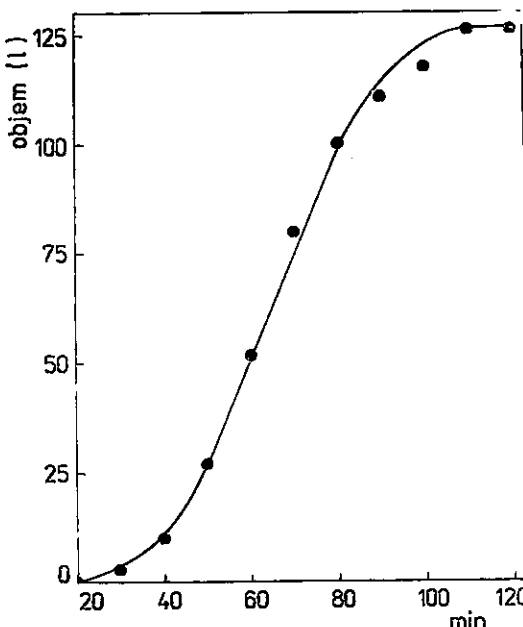
plynů jsme stanovili plynovou chromatografií. Ke stanovení O₂, N₂, CH₄, CO a CO₂ jsme použili přístroje Chrom 41 (Laboratorní přístroje Praha) s tepelně vodivostní detekcí, kolonami plněnými molekulárním sitem 5A a Porapakem Q a integrátorem fy Hewlett-Packard 3390 A. Teplota kolon byla 60 °C, průtok vodíku 25 cm³/min. Uhlovodíky C₂—C₇ byly stanoveny přístrojem Chrom 5 (Laboratorní přístroje Praha) s plamenoionizační detekcí, kolonami plněnými Porapakem Q a Durapakem 2400 a uvedeným integrátorem. Teplota kolon byla 120 a 56 °C, průtok N₂ byl 38 cm³/min, H₂ 50 cm³/min a vzduchu 450 cm³/min.

Množství vzniklého sirovodíku jsme určili výpočtem na základě poznatku, že obsah síry v pyrolyzním plynu je prakticky dán obsahem H₂S, který je dominantní plynou sirnou sloučeninou. Obsah síry v plynu jsme určili z rozdílu veškeré síry v pyrolyzovaném uhlí a veškeré síry v koksu a dehu (ČSN 44 1379, 44 1386 a 65 6290). Obsah H₂S byl pak vyhodnocen přeypočtem.

Reprodukce pokusu jsme hodnotili jednak z identity průběhu křivek ohřevu (obr. 1) a křivek odplynění (obr. 2), jednak složením cel-



1. Křivky ohřevu při pyrolyze uhlí kódu 422
A — průběh teploty u stěny reaktoru, B — v ose reaktoru, C — pod zátkou reaktoru



2. Ukázka křivky odplynění uhlí kódů 422
Objem plynu byl snímán při laboratorní teplotě

kového pyrolýzního plynu. Podmínky pyrolýzy přehledně uvádí tabulka 2.

Výsledky a diskuse

Při hodnocení výsledků jsme uvažovali obsah vody ve vsázce dané hustoty (W_t^r) u jednotlivých pokusů jako konstantní (tab. 3 a 4).

Obsah popela (A^d) a konečná teplota pyrolýzy byla považována za konstantní pro všechny pokusy (tab. 2). Jedinou proměnnou v rámci suché nebo vlhké vsázky byla pak rychlosť ohřevu v intervalu 350–750 °C. Zde jsme rozlišili střední rychlosť ohřevu v intervalu 350–550 °C ($w_{350-550}$), což je přibližně interval plastifikace a možné resolidifikace a střední rychlosť ohřevu v intervalu 550–750 °C ($w_{550-750}$), což je přibližně interval tvorby a odplynění polokoksu. Teplotní interval 750–1 000 °C jsme zde považovali za interval doodplynění koksu. Obě uvedené střední rychlosti ohřevu měly blízké nebo totožné hodnoty (tab. 2), avšak jejich rozlišení je vhodné z hlediska kontroly tepelného režimu pyrolýzy. Dále budeme uvažovat především $w_{350-550}$, protože interval 350–550 °C je pro vytvoření pyrolýzních produktů a jejich vlastností rozhodující.

Z provedené hmotnostní bilance laboratorního koksování suché i vlhké vsázky (tab. 3 a 4) vyplývá, že hodnota $w_{350-550}$ ovlivnila distribuci uhelné

Tabulka 2

Podmínky pyrolýzy použitých vzorků uhlí

číslo pokusu	W_{t^r} (%)	A^d	t_s^0 [°C]	t_r^k [°C]	t_{pz}^{max}	τ (min)	$w_{350-550}$ [°C/min]	$w_{550-750}$ [°C/min]	$b_{s.u.}$ (kg/m ³)
1	1,22	5,66	161	998	470	400	2,3	2,7	
2	1,24	6,29	168	1 012	450	420	2,7	2,8	
3	1,22	5,41	201	996	380	380	3,1	3,1	
4	1,02	5,07	310	1 015	480	205	5,2	7,0	
5	0,99	5,97	315	997	455	225	5,7	9,4	797
6	0,90	5,27	308	1 010	480	200	5,8	8,0	
7	0,77	5,61	267	992	420	210	6,8	6,9	
8	0,93	4,87	288	1 000	450	175	7,7	8,6	
9	0,88	6,35	370	1 004	465	155	9,4	13,3	
10	0,89	5,69	455	1 000	465	140	10,8	14,0	
11	0,92	5,13	554	1 007	460	150	15,2	17,1	
12	0,75	4,48	548	1 000	460	130	18,9	18,4	
13	0,76	5,57	659	998	—	70	34,4	36,4	
14	0,86	5,09	674	1 008	—	130	36,4	36,4	
15	10,78	5,32	167	1 004	395	520	2,7	2,9	544
16	10,87	6,14	187	980	365	560	2,9	2,9	548
17	10,94	5,60	333	1 001	360	325	4,5	4,5	544
18	10,88	5,58	275	1 000	380	320	4,8	4,8	544
19	10,78	5,33	304	1 008	380	335	5,1	3,7	544
20	10,93	6,03	449	1 010	350	180	10,8	12,1	543
21	10,89	6,03	432	1 008	360	195	11,9	14,3	543
22	10,94	5,50	263	1 005	395	235	14,3	9,5	597
23	10,93	5,49	450	990	365	210	15,4	11,8	556

Čísla pokusů 1–14 náleží suché vsázce, 15–23 vlhké vsázce

 t_s^0 — počáteční teplota topné stěny t_r^k — konečná teplota v ose reaktoru t_{pz}^{max} — maximální teplota pod zátikou reaktoru τ — doba pyrolýzy $w_{350-550}$ — střední rychlosť ohřevu v intervalu plastifikace 350–550 °C $w_{550-750}$ — střední rychlosť ohřevu v následném intervalu 500–750 °C $b_{s.u.}$ — hustota vsázky

hmoty do produktů pyrolýzy. Toto ovlivnění se týkalo především surového dehtu a plynu, dosti málo koksu a reakční vody. (Pokles ve výtěžku koksu jsme pozorovali až při přibližně 11 °C/min u suché vsázky a při asi 15 °C/min u vlhké vsázky. Výtěžky reakční vody nezávisely pravděpodobně na střední rychlosti ohřevu (obr. 3 a 6), i když rozptyl experimentálních bodů byl v našem případě dosti velký).

Z údajů (tab. 3 a obr. 3) vyplývá, že u suché vsázky procházel závislost výtěžku plynu na $w_{350-550}$ plochým minimem při asi 5–6,5 °C/min, kterému odpovídalo maximum výtěžku dehtu. Růst výtěžku dehtu do uvedené hodnoty $w_{350-550}$ byl způsoben rychlejším vypařováním dehtu v po-

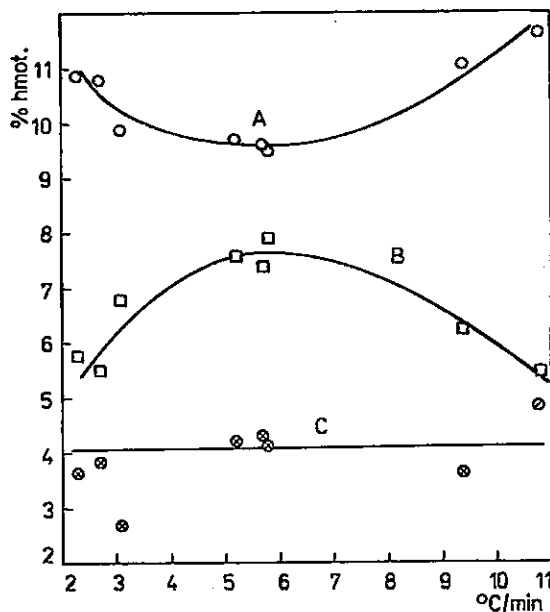
T a b u l k a 3
Hmotnostní bilance pyrolyzy uhlí kódů 422 pro suché vsázkov

číslo pokusu	W350 - 550 °C/min	v s á z k a			p r o d u k t y						
		suché uhlí	voda	celkem	suchý koks	suchý plyn	bezvodý surový dehet	reakční voda	voda ze vsázky	H ₂ S	NH ₃ + ztráty a)
		g	g	%	g	g	g	g	g	g	%
1	2,3	493,9	6,10	500,0	377,0	54,40	29,21	18,20	6,10	1,47	13,62
		98,78	1,22	100,0	75,40	10,88	5,84	3,64	1,22	0,29	2,73
2	2,7	493,8	6,20	500,0	373,0	53,95	27,27	19,20	6,20	1,13	19,25
		98,76	1,24	100,0	74,60	10,79	5,45	3,84	1,24	0,23	3,85
3	3,1	439,9	6,10	500,0	379,5	49,07	33,88	13,40	6,10	1,20	16,85
		98,78	1,22	100,0	75,90	9,81	6,78	2,68	1,22	0,24	3,37
4	5,2	494,9	5,10	500,0	372,3	48,51	37,75	21,00	5,10	1,44	13,90
		98,98	1,02	100,0	74,46	9,70	7,55	4,20	1,02	0,29	2,78
5	5,7	495,05	4,95	500,0	374,0	48,08	37,07	21,55	4,95	1,51	12,84
		99,01	0,99	100,0	74,80	9,62	7,41	4,31	0,99	0,30	2,57
6	5,8	495,50	4,50	500,0	376,7	47,49	39,59	20,80	4,50	1,57	9,35
		99,10	0,90	100,0	75,34	9,50	7,92	4,16	0,90	0,31	1,87
9	9,4	495,60	4,40	500,0	375,0	55,30	30,98	18,20	4,40	1,44	14,88
		99,12	0,88	100,0	75,00	11,06	6,20	3,64	0,88	0,29	2,93
10	10,8	495,55	4,45	500,0	368,6	58,15	27,70	24,40	4,45	1,47	15,23
		99,11	0,89	100,0	73,72	11,63	5,54	4,88	0,89	0,29	3,05

a) NH₃ ≈ 0,2–0,3 % hmot.

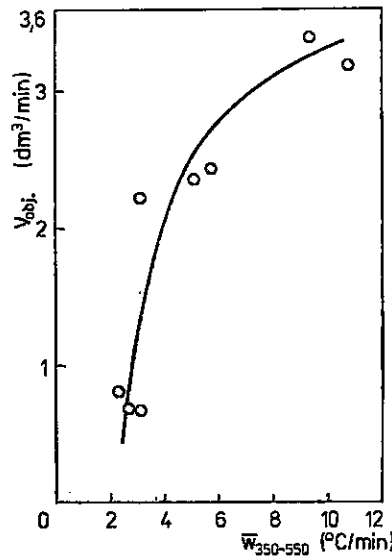
Tabuľka 4
Hmotnosťné bilance pyrolyzy uhlí kódu 422 pro vlnité vsázký [obsah vody okolo 11 %]

číslo pokusu	WJSO - 550	vsázka			produkty					
		suché uhlí	voda	celkem	suchý koks	bezvodý surový dehet	reakční voda	voda ze vsázký	H ₂ S	NH ₃ + ztráty
		°C/min								
15	2,7	445,4	54,60	500,0	347,2	44,90	22,47	16,30	54,60	1,27
		89,08	10,92	100,0	69,44	6,98	4,49	3,26	10,92	0,25
16	2,9	446,25	53,75	500,0	341,8	43,85	27,19	16,85	53,75	1,00
		89,25	10,75	100,0	68,36	8,77	5,44	3,37	10,75	0,20
17	4,5	446,2	53,80	500,0	351,2	40,79	23,88	17,10	53,80	1,28
		89,24	10,76	100,0	70,24	8,16	4,78	3,42	10,76	0,26
18	4,8	445,7	54,30	500,0	346,4	46,35	24,96	13,30	54,30	1,37
		89,14	10,86	100,0	69,28	9,27	4,99	2,66	10,86	0,27
19	5,1	446,1	53,90	500,0	347,0	45,15	24,40	14,30	53,90	1,25
		89,22	10,78	100,0	69,40	9,03	4,88	2,86	10,78	0,25
20	10,8	445,65	54,35	500,0	347,5	41,57	27,25	12,95	54,35	1,28
		89,13	10,87	100,0	69,50	8,31	5,45	2,59	10,87	0,26
21	11,9	446,15	53,85	500,0	345,0	40,14	27,18	14,85	53,85	1,41
		89,23	10,77	100,0	69,00	8,03	5,44	2,97	10,77	0,28
23	15,4	445,35	54,65	500,0	337,0	39,16	28,71	15,95	54,65	1,33
		89,07	10,93	100,0	67,40	7,83	5,74	3,13	10,93	0,27



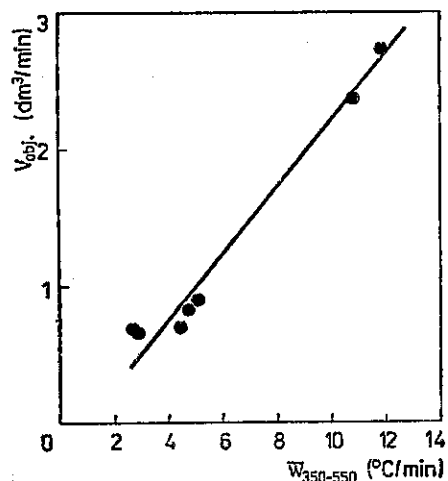
3. Závislost výtěžku plynu (kurva A), surového bezvodého dehtu (B) a reakční vody (C) na rychlosti ohřevu suché vsázky

lokoksu s rostoucí $w_{350-550}$, přičemž rozměry reaktoru umožnily odvod veškerého dehtu v parní fázi. Vypařování dehtu pak probíhalo rychleji než jeho degradace na plyn a polokoks a výtěžek plynu tedy klesal. Po překročení hodnoty $w_{350-550} \approx 5-6,5 \text{ }^{\circ}\text{C}/\text{min}$ nastal růst výtěžku plynu provázený poklesem výtěžku surového dehtu v důsledku nepostačujícího



4. Závislost průměrné objemové rychlosti výtoku surového plynu z reaktoru ($V_{obj.}$) při pyrolyze suché vsázky na rychlosti ohřevu
Po překročení rychlosti asi $6 \text{ }^{\circ}\text{C}/\text{min}$ začala $V_{obj.}$ stagnovat [limitovala]

odvodu dehtu v parní fázi z reaktoru a s tím spojeného tepelného rozkladu dehtu na plyn a polokoks (popř. na pyrouhlík). Dokladem správnosti tohoto výkladu je charakter závislosti průměrné objemové rychlosti výtoku surového plynu z reaktoru ($v_{obj.}$) na $w_{350-550}$. Tato závislost při vyšších $w_{350-550}$ limitovala (obr. 4), tj. odvod dehtu v parní fázi probíhal s určitou zádrží. Dalším faktorem je teplota topné stěny. Pokusy při vyšších rychlostech ohřevu vyžadují vyšší teplotu topné stěny (tab. 2, ilustrace obr. 1). Teplotní rozdíly mezi stěnou a vnitřní částí reaktoru jsou pak v průběhu pokusu větší než při rychlostech nižších. Vzniklé produkty pyrolýzy proudily při odvodu vrstvou vytvořeného porézního koksu ke stěně reaktoru o vyšší teplotě a zde tepelně degradovaly. Charakter závislosti (obr. 3) byl tedy dán rychlostí tvorby a vypařování dehtu v polokoksu, rozměry reaktoru (především průměrem) a teplotním rozdílem mezi stěnou a vnitřkem reaktoru při vyšších $w_{350-550}$, přibližně $> 5^{\circ}\text{C}/\text{min}$. Tepelný rozklad těkavých produktů pyrolýzy probíhal ve vrstvě vsázky, nikoli v prostoru pod zátkou reaktoru, protože teplota zde byla $380-480^{\circ}\text{C}$ (tab. 2). Při této teplotě může nastat rozklad uvažovaných produktů jen ve velmi malé míře.

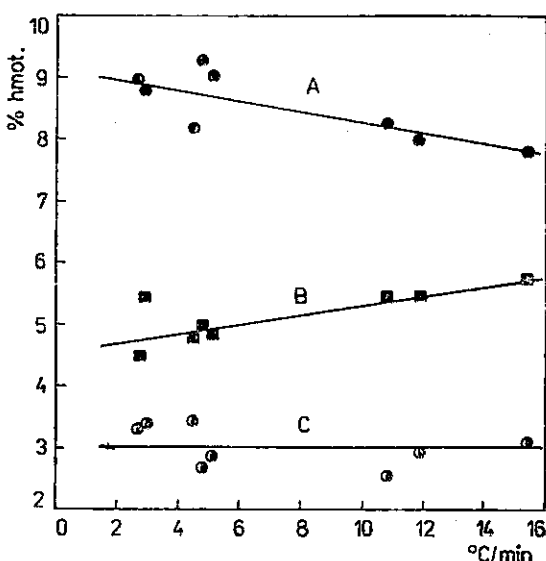


5. Obdobná závislost jako na obrázku 4, zde pro vlhkou vsázku

Jak již bylo řečeno, závislost průměrné objemové rychlosti výtoku surového plynu na $w_{350-550}$ v případě suché vsázky limitovala. Naproti tomu analogická závislost získaná při odplynění vlhké vsázky měla lineární charakter (obr. 5). Při snížení hustoty vsázky umožňovaly tedy rozměry reaktoru odvod dehtu v parní fázi bez zádrže, takže vypařování dehtu probíhalo rychleji než jeho degradace na polokoks a plyn v celém rozsahu uvažované $w_{350-550}$. Důsledkem byl pak lineární růst výtěžku dehtu

s $w_{350-550}$ provázený poklesem výtěžku plynu, který měl rovněž lineární charakter (obr. 6).

Hmotnostní bilance laboratorního koksování uhlí kódů 422 tedy ukázala, že rychlosť ohřevu v rozhodujícím intervalu plastifikace, tedy intenzifikační parametr zásadní důležitosti, ovlivnila distribuci uhelné hmoty, především mezi plyn a dehet.



6. Závislost výtěžku plynu (kurvka A), surového bezvodého dehtu (B) a reakční vody (C) na rychlosti ohřevu v intervalu 350–550°C pro vlhkou vsázkou

Změny ve výtěžcích nepřesáhly 2,5 % surového bezvodého dehtu a 2,1 % hmot. plynu u suché vsázky a 1,3 % surového bezvodého dehtu a 1,4 % hmot. plynu u vlhké vsázky. Výtěžků koksu se vliv rychlosti ohřevu dotkl dosti málo, projevil se však na jeho texturních a některých mechanických vlastnostech.

Mechanické vlastnosti a texturní charakteristiky získaných koků shrnují tabulky 5 a 6. Závislost těchto vlastností a charakteristik na hustotě vsázky a rychlosti ohřevu názorně ukazují obrázky 7–16.

Z grafů na obrázku 7 je patrná závislost středního zrna nestabilizovaného celkového koksu (D_s) na $w_{350-550}$ pro suchou a vlhkou vsázkou. Hodnoty D_s byly stanoveny na sítích s kruhovými otvory 10, 20, 30, 40, 50 a 60 mm a vypočteny podle ČSN 44 1342. Do přibližně 11 °C/min u vlhké a 15 °C/min u suché vsázky jsme pozorovali obvyklý pokles D_s s rostoucí rychlosťí ohřevu, způsobený jednak většími teplotními gradienty mezi stěnou a vnitřkem reaktoru a rychlejším odplyňováním polokoksu s rostoucí $w_{550-750}$ (závislost D_s na $w_{550-750}$ se prakticky nelíšila od závislosti uvažované), jednak průměrem reaktoru. Vliv rychlosti ohřevu na tvorbu

Tabulka 5
Texturní charakteristiky a mechanické vlastnosti koksfu ze suchého všešky uhlí kód 422

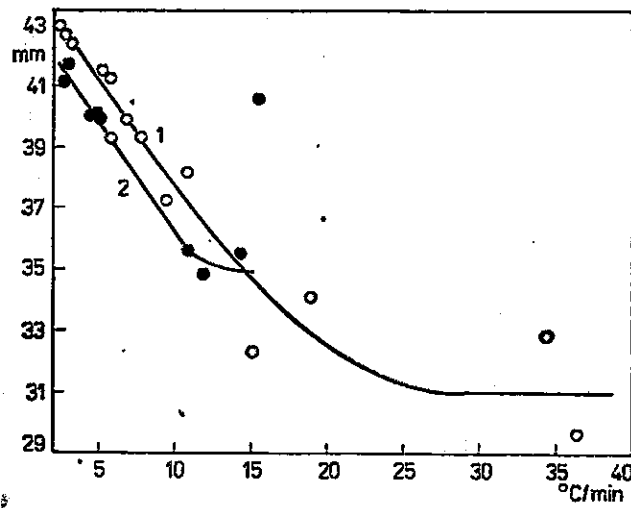
číslo pokusu	rychlosť ohňeú		zralosť	texturní charakteristiky			mechanické vlastnosti			třídící zkouška		
	w550 - 550	w550 - 750		R	d _{r,d}	d _{ap,d}	P _{r'}	P _s	R _{20,500}	R _{10,500}	P _s (%)	x ₀₋₁₀ (%)
1	2,3	2,7	2685	1,835	0,917	50,0	45,1	94,90	4,08	76,6	2,39	43,0
2	2,7	2,8	2908	1,809	0,945	47,8	45,5	93,60	5,91	70,1	2,14	42,7
3	3,1	3,1	2741	1,823	0,949	47,9	43,1	97,51	3,48	83,0	7,77	42,3
4	5,2	7,0	2505	1,842	0,964	47,7	45,7	95,15	4,37	87,6	1,42	41,5
5	5,7	9,4	2780	1,827	0,977	46,5	43,4	93,63	6,37	83,0	1,60	41,2
6	5,8	8,0	2276	1,826	0,941	46,5	46,9	91,75	7,22	76,4	1,25	39,3
7	6,8	6,9	2989	1,820	0,949	47,8	45,0	93,00	6,40	84,4	1,8	39,9
8	7,7	8,6	2907	1,831	1,019	44,3	43,1	95,83	4,17	81,4	1,8	39,3
9	9,4	13,3	2191	1,840	1,010	45,1	43,6	96,46	3,54	80,2	1,87	37,2
10	10,8	14,0	2792	1,828	1,000	45,3	43,4	96,60	3,40	79,7	1,90	38,2
11	15,2	17,1	2290	1,846	1,083	41,3	—	91,48	5,88	79,2	1,8	32,3
12	18,9	18,4	1744	1,841	1,046	42,2	40,2	90,02	3,60	84,1	1,5	34,1
13	34,4	36,4	2498	1,833	1,046	42,9	39,5	87,29	3,90	88,7	1,2	32,9
14	36,4	36,4	1726	1,835	1,050	42,8	39,5	87,20	2,22	85,6	1,2	29,7

Tabulka 6
Texturní charakteristiky a mechanické vlastnosti koksu z vlnky vsízky uhlí kódů 422

číslo pokusu	rychlosť ohňa		zralosť		texturní charakteristiky			mechanické vlastnosti			trdičí zkouška	
	w ₅₅₀₋₅₅₀	w ₅₅₀₋₇₅₀	R	d _r ^d	d _{ap} ^d	P _{r'}	P _a	R _{20,500}	R _{10,500}	P _s	x ₀₋₁₀	D _s (mm)
			(°C/min)	(Ω mm ² /m)	[g/cm ³]		(%)	(%)	(%)	(%)		
15	2,7	2,9	2963	1,819	0,774	57,4	51,3	83,33	15,69	52,7	5,53	41,2
16	2,9	2,9	2330	1,817	0,775	58,0	51,0	86,70	12,32	64,0	3,74	41,8
17	4,5	4,5	2670	1,774	0,766	56,8	52,4	86,87	10,61	68,0	4,90	40,3
18	4,8	4,8	2950	1,800	0,771	57,2	53,7	88,41	10,63	62,3	7,25	40,6
19	5,1	3,7	2985	1,808	0,775	57,1	52,2	93,14	6,86	50,0	2,02	40,0
20	10,8	12,1	2618	1,785	0,746	58,2	54,8	88,18	11,82	69,9	5	35,6
21	11,9	14,3	1679	1,789	0,746	58,5	53,1	84,31	15,20	50,7	4,93	34,8
22	14,3	9,5	2955	1,800	0,747	58,5	52,9	87,00	13,00	64,0	5	35,5
23	15,4	11,8	2670	1,794	0,729	59,4	53,7	88,29	11,22	63,3	5,04	40,6

R — elektrický odpor koksu, d_r^d — skutečná [metanolová] hustota, d_{ap}^d — zdánlivá hustota stanovená pomocí parafinu, P_{r'} — porovlost s použitím d_{ap}^d, P_a — porovlost stanovená využívající metodou, R_{20,500} — pevnost, R_{10,500} — citernost, x₀₋₁₀ — podíl koksu prachu v nestabilizovaném koksu, D_s — střední zrno nestabilizovaného koksu.

drobnějšího celkového koksu se projevil stejnou měrou u vlhké i suché vsázky: při zvýšení $w_{350-550}$ o $1^{\circ}\text{C}/\text{min}$ klesla hodnota D_s o $\approx 0,7 \text{ mm}$. Větší střední zrno při stejné $w_{350-550}$ vykázaly vždy koxsy ze suché, tj. zhuštěné vsázky (uvažujeme-li v uvedených mezích rychlostí ohřevu), což připisujeme laboratornímu měřítku koksování.



7. Závislost středního zrna nestabilizovaného celkového koksu (mm) na rychlosti ohřevu v intervalu $350-550^{\circ}\text{C}$ suché (kurva 1) a vlhké (2) vsázky

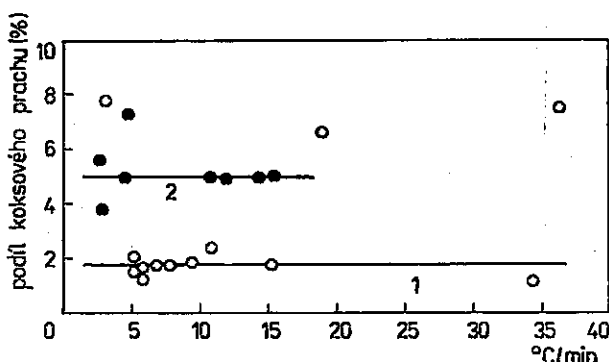
Podíl koksového prachu, který jsme i v laboratorních podmínkách hodnotili jako obsah třídy 0—10 mm v celkovém nestabilizovaném koksu, byl výrazně nižší u koksů ze suché vsázky (obr. 8). Ani v případě suché vsázky, ani u vlhké vsázky jsme nepozorovali ovlivnění obsahu prachu rychlostí ohřevu.

Mechanickou pevnost (R_{20}^{500}) a otěrnost (R_{10}^{500}) jsme testovali laboratorním bubínkem vnitřního průměru 200 mm (= pádová výška) a délky 67 mm, se dvěma zarážkami. Rychlosť otáčení byla 50 ot./min, celkový počet otáček 500. Ke zkoušce jsme do bubínku vkládali 200 g nestabilizovaného koksu o zrnu nad 20 mm. Pevnost jsme po 500 otáčkách hodnotili podílem zrn nad 20 mm, otěrnost podílem pod 10 mm. Větší pevnost a menší otěrnost vykázaly koxsy ze suché vsázky (obr. 9).

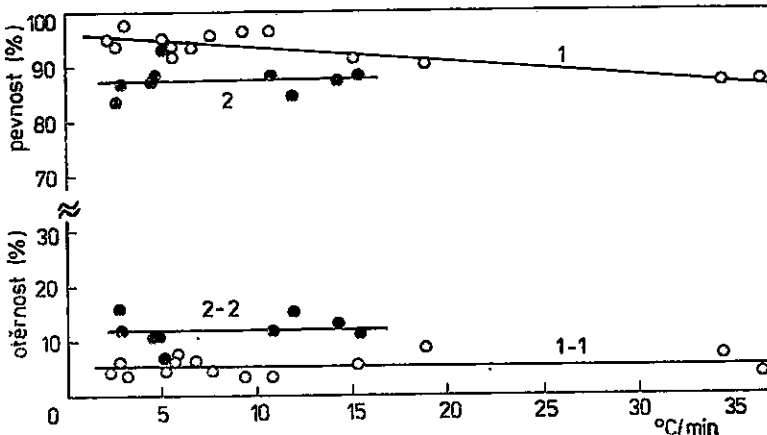
Tyto výsledky jsme doplnili měřením strukturní pevnosti, pórovitosti a tloušťky stěn pórů. Strukturní pevnost, tj. pevnost texturní stavby koksových zrn s vyloučením trhlin, jsme měřili standardním postupem. Pórovitost jsme stanovili dvojím způsobem: jednak izolační parafínovou metodou, kdy se zdánlivá hustota koksu určuje pomocí zrn impregnovaných do hloubky 15—20 mm parafínem a skutečná hustota metanolem, a jednak vyvařovací metodou, spočívající v zaplnění otevřených pórů

koksových zrn vodou (vzorek vaříme ve vodě do úplného vypužení vzduchu z odkrytých pór) a stanovení hmotnosti vody zaplňující tyto pory a úbytku váhy koksu nasyceného vodou při ponofření do vody. Pórovitost stanovenou prvně uvedenou metodou jsme značili P_r' (čárkou značíme odlišnost od ČSN 44 1326) a posledně uvedenou metodou P_a . Závislost

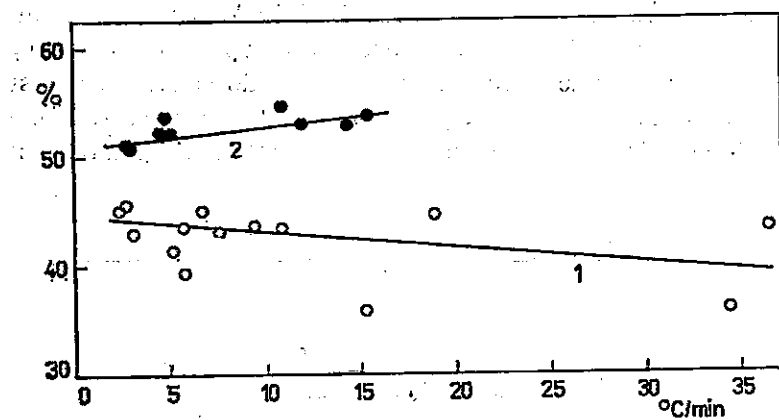
8. Podíl koksového prachu (0–10 mm) v nestabilizovaném celkovém koksu v závislosti na rychlosti ohřevu v intervalu 350 až 550 °C suché (křivka 1) a vlhké (2) vsázky



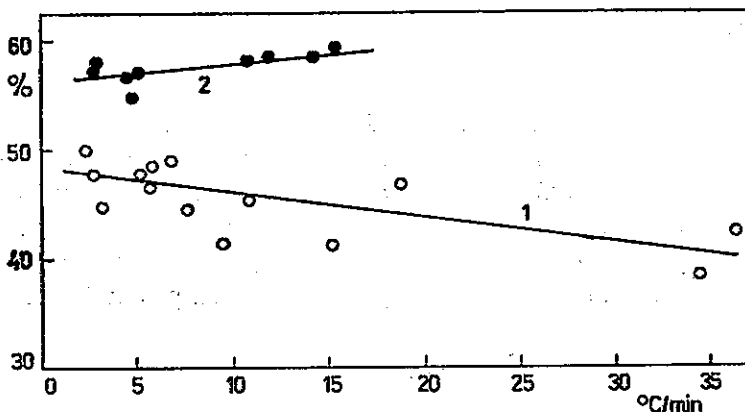
pórovitosti P_r' na $w_{350-550}$ pro obě uvažované varianty vsázky znázorňuje obrázek 10, závislost P_a na $w_{350-550}$ Obrázek 11. Z těchto obrázků je zřejmé, že pórovitost koksů z vlhké vsázky byla vždy větší než ze vsázky suché, přičemž v případě vlhké vsázky rostly hodnoty P_r' i P_a s rostoucí $w_{350-550}$ a v případě suché vsázky klesaly. Jinými slovy, z hlediska mechatnických vlastností koku se příznivý vliv rychlosti ohřevu projevil v této



9. Závislost pevnosti koksu [v textu $R_{20,500}$] a jeho otěrnosti [v textu $R_{10,500}$] na rychlosti ohřevu v intervalu 350–550 °C suché (křivka 1, 1–1) a vlhké (2, 2–2) vsázky



10. Závislost půrovitosti koksu P_r' ze suché (křivka 1) a vlhké (2) vsázky na rychlosti ohřevu v intervalu 350–550 °C

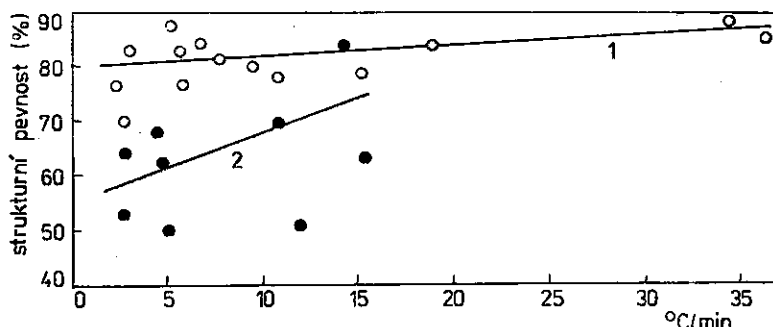


11. Závislost půrovitosti koksu P_a ze suché (křivka 1) a vlhké (2) vsázky na rychlosti ohřevu v intervalu 350–550 °C

souvislosti pouze u koksů ze zhuštěné vsázky, protože tyto vlastnosti jsou z užitého pohledu výhodnější při nižší půrovitosti a větší tloušťce stěn pórů.

Vliv rychlosti ohřevu na strukturní pevnost koksů z obou variant vsázky je patrný z obrázku 12. Jak u koksů ze suché, tak u koksů z vlhké vsázky byly získané experimentální body přisouzeny lineární tendenci růstu strukturní pevnosti s růstem $w_{350-550}$, protože statistický rozbor obou závislostí i intuitivní náhled poskytl přímkovou závislost. Zde se rychlosť ohřevu projevila jako příznivý faktor z hlediska mechanických vlastností koksu.

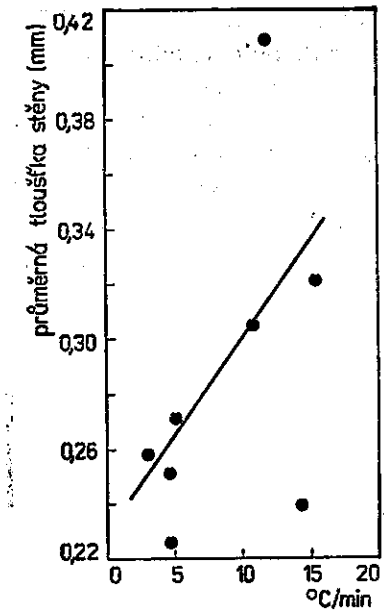
Jestliže u koksov z vlhké vsázky rostla strukturní pevnost při zvětšující se pórositosti a rostoucí rychlosti ohřevu, pak bylo vhodné vyšetřit pórositost koksu v oblasti velkých pórů, protože pórositost koksu závisí na původní pórositosti uhelné hmoty a na následném rozvinutí systému pórů při termochemických přeměnách a podle našich měření se vliv režimu koksování a hustoty vsázky projeví až v oblasti makropór krajní velikosti (např. o poloměru větším než 0,075 mm), dobře pozorovatelných na snímcích lomových ploch koksov pořízených elektronovým skanovacím mikroskopem.



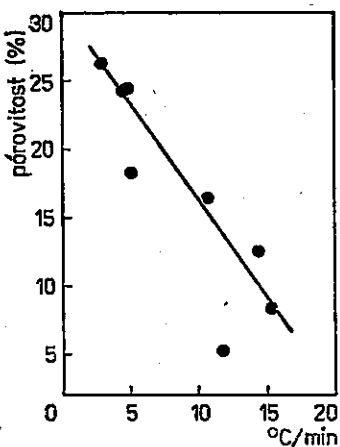
12. Závislost strukturní pevnosti koksu ze suché (křivka 1) a vlhké (2) vsázky na rychlosti ohřevu v intervalu 350–550 °C

V daném případě byla provedena analýza obrazu u snímků lomových ploch koksov z vlhké i suché vsázky, pořízených v padesatinásobném zvětšení přístrojem JEOL JXA 50A (Japonsko). U většího počtu snímků jsme vyhodnocovali podíl plochy nalezející pórům viditelným při uvedeném zvětšení a průměrnou vzdálenost mezi pory. Výsledky znázorňují grafy na obrázcích 13–16. U koksov z vlhké vsázky strmě klesal podíl pórů krajní velikosti s rostoucí rychlostí ohřevu a průměrná tloušťka stěny rostla (obr. 13 a 14).

U koksov ze suché vsázky rovněž strmě klesal podíl pórů krajní velikosti, avšak pouze do rychlosti ohřevu asi 6 °C/min, pak závislost stagnovala, jak ukazuje obrázek 16. Podobně jako u koksov z vlhké vsázky i zde rostla průměrná tloušťka stěny mezi pory s rostoucí rychlostí ohřevu uhelné vsázky. Tyto výsledky jsou důležité zejména pro hodnocení schopnosti koksu reagovat s oxidem uhličitým ve vysoké peci, což je důležitá technologická vlastnost (čím je koks reaktivnější, tím méně vhodný je pro použití ve vysoké peci). Lze říci, že schopnost koksu reagovat s CO₂ je tím větší, čím větší je podíl pórů krajní velikosti. Protože koksy vzniklé z vlhké i ze suché vsázky vykázaly pokles podílu uvažovaných



13. Průměrná tloušťka stěny hrubých pórů v závislosti na rychlosti ohřevu mezi 350—550 °C pro koksy ze sypané vlhké vsázký

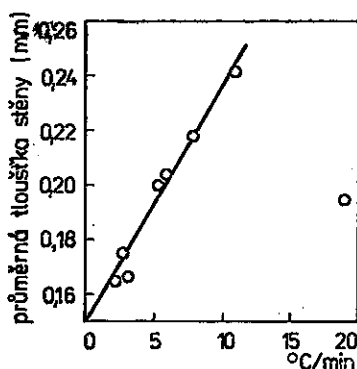


14. Přirovnost hrubých pórů v závislosti na rychlosti ohřevu mezi 350—550 °C pro koksy ze sypané vlhké vsázký

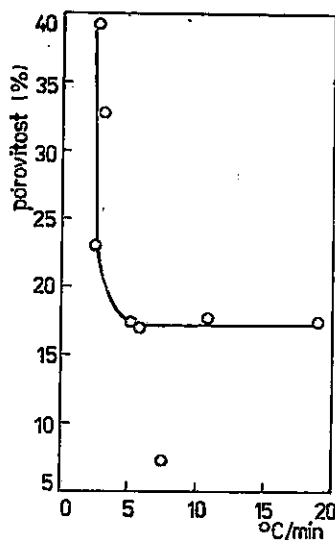
pórů s rostoucí rychlosí ohřevu, je zřejmé, že zvýšení rychlosí ohřevu pozitivně ovlivnilo reaktivitu koksu (obr. 14 a 16). Zvýšení rychlosí ohřevu se pozitivně projevilo také růstem tloušťky stěn mezi pory, což přispívá k větší mechanické pevnosti koksu. Vcelku lze říci, že zvýšení rychlosí ohřevu, např. ze 2—4 °C/min na 4—6 °C/min bylo příznivým ovlivněním intenzifikačního charakteru.

Doplněním diskutovaných grafů (obr. 13—16) je obrazová informace ilustrující příznivý vliv rychlosí ohřevu na pevnost texturní stavby koksu

15. Průměrná tloušťka stěny hrubých pórů v závislosti na rychlosti ohřevu mezi 350–550 °C pro koksy ze sypané suché vsázky



16. Pórovitost hrubých pórů v závislosti na rychlosti ohřevu mezi 350–550 °C pro koksy ze sypané suché vsázky



(příl. I–IV) a dále tabulka 7 dokládající, že na chemické složení koksu neměla rychlosť ohřevu ani hustota vsázky pozorovatelný vliv.

Hodnocení pyrolyzního plynu

Složení pyrolyzního plynu i jeho fyzikální vlastnosti se měnily především v závislosti na rychlosti ohřevu, hustota vsázky je ovlivnila velmi málo. U suché vsázky se v rozmezí $W_{350-550} = 2,3$ až $10,8$ °C/min v celkovém plynu prakticky neměnil obsah dusíku (okolo 0,5 %) a obsah CO (okolo 6 %); málo se měnil obsah etanu (1–1,5 %) a propanu (0,2–

Tabulka 7

Chemické složení koksů z pyrolýzy uhlí kódů 422 (hmot. %)

číslo pokusu	technická analýza			elementární analýza				
	W _a	A ^d	S _{t^d}	C ^{daf}	H ^{daf}	N ^{daf}	S _{o^{daf}}	O _{d^{daf}}
1	1,90	7,46	0,43	97,61	0,50	0,99	0,15	0,75
2	2,18	7,26	0,52	97,72	0,38	0,98	0,25	0,67
3	1,62	7,78	0,49	97,82	0,50	1,00	0,14	0,54
4	2,82	7,36	0,44	97,45	0,40	1,09	0,23	0,83
5	1,80	7,04	0,42	97,86	0,45	1,01	0,17	0,51
6	2,86	5,81	0,40	97,94	0,31	1,11	0,20	0,44
7	1,98	6,57	0,40	97,79	0,39	1,03	0,21	0,58
8	2,15	6,84	0,41	97,34	0,50	1,04	0,24	0,88
9	1,84	7,79	0,44	97,58	0,34	1,03	0,17	0,88
10	1,61	7,01	0,44	97,60	0,42	1,09	0,23	0,66
11	1,26	7,30	0,38	97,66	0,41	1,06	0,13	0,74
12	1,20	6,80	0,40	97,79	0,43	0,96	0,15	0,67
13	1,25	7,32	0,39	97,65	0,44	1,13	0,15	0,63
14	0,98	6,81	0,39	97,98	0,41	0,98	0,15	0,48
15	1,63	6,54	0,44	97,49	0,49	1,03	0,21	0,78
16	1,59	7,22	0,51	97,53	0,40	0,99	0,29	0,79
17	1,56	6,76	0,43	97,43	0,47	1,04	0,21	0,85
18	1,66	7,05	0,41	97,44	0,44	1,05	0,19	0,88
19	1,34	7,37	0,44	97,80	0,37	0,97	0,22	0,64
20	2,01	6,95	0,43	97,29	0,45	1,21	0,29	0,76
21	1,65	6,50	0,40	97,81	0,15	1,11	0,25	0,68
22	2,19	6,30	0,41	97,76	0,49	1,14	0,22	0,39
23	1,85	7,14	0,43	97,59	0,47	1,12	0,25	0,57

Čísla pokusu 1—14 náleží suché vsázce, 15—23 vlhké vsázce

0,5 %). Výrazně se měnil obsah vodíku, který vzrostl ze 64,75 na 69,01 % a obsah metanu, který poklesl z 25,78 na 21,03 %. Dále jsme pozorovali vzrůst obsahu etylénu s rostoucí $w_{350-550}$, a to z 0,07 na 0,24 %, obsahu propylénu z 0,14 na 0,41 % a konečně obsahu CO_2 z 0,41 na 1,21 %.

Důsledkem změn ve složení celkového plynu byla změna fyzikálních vlastností. Spalné teplo pokleslo se vzrůstem rychlosti v uvedeném rozmezí z 21,36 na 19,71 MJ/m³ a hustota z 0,29 na 0,27.

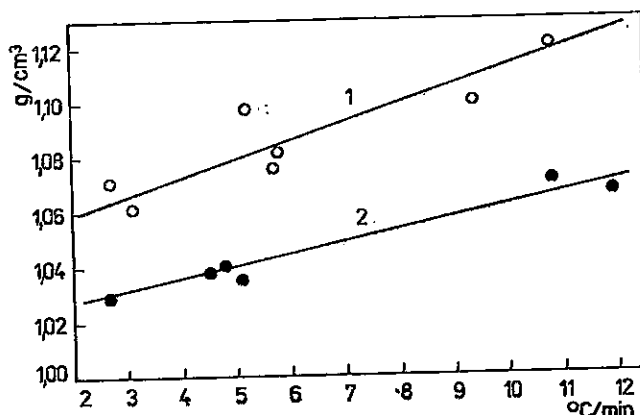
U vlhké vsázky se v rozmezí $w_{350-550} = 2,7-15,4\text{ }^{\circ}\text{C}/\text{min}$ v celkovém plynu opět prakticky neměnil obsah reakčního N_2 (okolo 0,5 %), málo se měnil obsah etanu (1,1—1,7 %) a propanu (0,3—0,6 %). Obsah vodíku vzrostl z 66,58 na 68,46 %, obsah metanu výrazně poklesl z 25,82 na 20,12 %. U etylénu jsme pozorovali pouze nevýrazný vzrůst obsahu s rostoucí $w_{350-550}$, a to z 0,21 na 0,5—0,7 %, zatímco propylén tuto tendenci nevykázal a jeho obsah byl vždy okolo 0,2 %. Obsah CO_2 s rostou-

cí rychlostí ohřevu poněkud vzrostl, a to z 1,1—1,2 na okolo 2 %, obsah CO rovněž vzrostl, a to z 3,28 na 6,61 %.

Spalné teplo pokleslo v důsledku uvedených změn ve složení plynu s rostoucí $w_{350-550}$ v uvažovaném rozmezí z 21,30 na 19,82 MJ/m³, hustota vzrostla z 0,27 na 0,29—0,30. Vcelku tedy změny způsobené vlivem rychlosti ohřevu na složení a fyzikální vlastnosti celkového pyrolýzního plynu nebyly zásadního rázu, což platí i o změnách v důsledku zhuštění vsázky.

Hodnocení surového bezvodého dehtu

Složení surového bezvodého dehtu (dehet) i jeho hustota se měnily jak v závislosti na rychlosti ohřevu, tak s hustotou vsázky. Tyto skutečnosti dokumentuje tabulka 8 (elementární analýza dehtů ze suché a vlhké vsázky) a obrázek 17.



17. Závislost hustoty surového bezvodého dehtu z pyrolýzy uhlí kódu 422 na rychlosti ohřevu v intervalu 350—550 °C
Křivka 1 — dehty ze suché vsázky, 2 — dehty z vlhké vsázky

Z údajů (tab. 8) je zřejmé, že procentický obsah vodíku H^d byl u dehtů z vlhké vsázky při stejných $w_{350-550}$ vždy vyšší než u dehtů ze vsázky suché. V obou případech jsme zaznamenali jeho pokles s rostoucí rychlostí ohřevu: u vlhké vsázky z 8,32 % hmot. při $w_{350-550} = 2,7$ °C/min na 7,72 % hmot. při $w_{350-550} = 15,4$ °C/min, u suché vsázky ze 7,98 % hmot. při $w_{350-550} = 2,3$ °C/min na 7,16 % hmot. při 10,8 °C/min.

Obsah síry S^d prakticky nezávisel na způsobu přípravy vsázky a na rychlosti ohřevu a pohyboval se okolo 0,2 % hmot.

Obsah dusíku N^d vykázal dosti velký rozptyl, zdá se však, že jeho závislost na hustotě vsázky i rychlosti ohřevu byla nevýrazná. Jeho obsah kolísal nejčastěji okolo 1 % hmot.

Obsah uhlíku C^d rostl s rostoucí rychlosťí ohřevu, u dehtů ze suché vsázky však méně výrazně než u dehtů ze vsázky vlhké. Dehty z vlhké vsázky obsahovaly vždy více C^d než dehty ze vsázký suché.

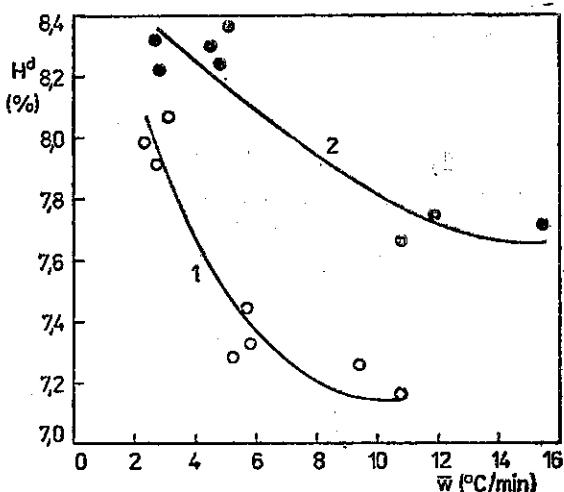
Z obrázku 17 je patrné, že hustota uvažovaných dehtů závisela jak na způsobu přípravy vsázky, tj. na její hustotě, tak na rychlosti ohřevu

Tabuľka 8

Elementárni analýza dehtů ze suché a vlhké vsázky
uhlí kód 422 (hmot. %)

číslo pokusu	$w_{350-550}$ [°C/min]	H^d	C^d	N^d	S^d
1	2,3	7,98	85,03	1,35	0,21
2	2,7	7,91	84,40	1,18	0,22
3	3,1	8,07	86,06	1,02	0,23
4	5,2	7,28	85,78	1,04	0,19
5	5,7	7,44	84,71	1,63	0,22
6	5,8	7,32	84,93	0,86	0,23
9	9,4	7,26	84,78	1,03	0,23
10	10,8	7,16	85,00	0,90	0,26
15	2,7	8,32	85,48	0,81	0,16
16	2,9	8,22	84,93	0,98	0,31
17	4,5	8,30	85,68	0,87	0,20
18	4,8	8,24	85,82	0,97	0,23
19	5,1	8,37	86,16	0,76	0,24
20	10,8	7,66	85,19	1,55	0,23
23	15,4	7,72	86,28	0,95	0,22

Čísla pokusů 1–10 náleží suché vsázce, 15–23 vlhké vsázce



18. Závislosť obsahu vodíku v surovém bezvodém dehtu na rychlosťi ohrevu suché (križka 1) a vlhké (2) vsázky

v intervalu 350—550 °C. Vyšší hustotu vykazovaly dehty ze suché vsázkы (1,06—1,12 g/cm³ oproti 1,03—1,07 g/cm³ pro dehty z vlhké vsázkы).

Ze sledovaných charakteristik má největší vypovídací schopnost zřejmě H^d a hustota dehtu. Měření obou se dobře doplňovala: růst hustoty dehtu provázel pokles obsahu vodiku H^d, jak je zřejmé z porovnání závislostí na obrázku 17 a 18.

Uvažovaný jev nelze hodnotit bez podrobného rozboru spekter NMR a infračervených spekter. Je pravděpodobné, že rostoucí rychlosť ohřevu v intervalu plasticity má za následek růst aromaticity vzniklého dehtu v polokoksu a růst rozdílu rychlostních konstant vzniku dehtu z tepelně aktivovaného uhlí a rozkladu dehtu na plyn a primární polokoks s teplotou.

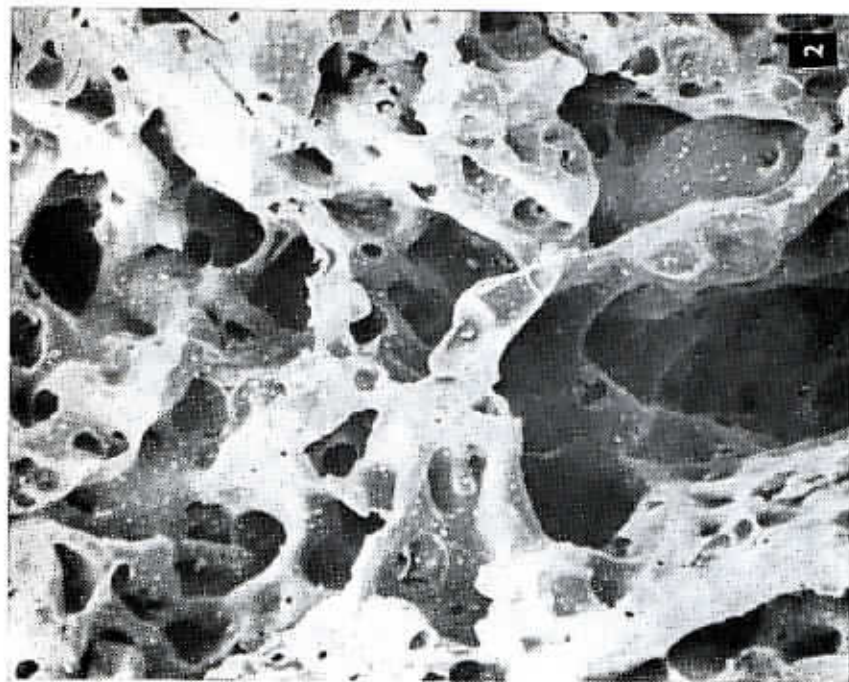
Závěry

1. Rychlosť ohřevu vsázkы ovlivňuje distribuci uhelné hmoty mezi plyn, dehet a koks.
2. Rychlosť ohřevu i hustota vsázkы ovlivňuje pórovitost vzniklého koksu, přičemž s rostoucí rychlosťí ohřevu roste pórovitost koksu z vlhké vsázkы, avšak klesá pórovitost koksu ze vsázkы suché. Tento poznatek má význam především z hlediska hodnocení mechanických vlastností koksu za studena, protože ty závisí mj. i na pórovitosti stanovené podle ČSN, nebo hodnocené izolační parafínovou metodou či metodou zaplňování pórů vodou. Z hlediska hodnocení reaktivnosti koksu a mechanických vlastností po reakci s CO₂ má význam spíše pórovitost hrubých pórů, tj. pórů v oblasti největších makropórů, hodnocená analýzou obrazu. Tato pórovitost u koksu z vlhké i suché vsázkы klesá s rostoucí rychlosťí ohřevu, což vytváří předpoklad pro snížení reaktivnosti a zlepšení mechanických vlastností koksu po reakci s CO₂ působením vyšší rychlosti koksování.
3. Rychlosť ohřevu a zhuštění vsázkы zvětšuje strukturní pevnost koksu a průměrnou tloušťku stěn pórů.
4. Vliv rychlosti ohřevu a zhuštění vsázkы na složení a fyzikální vlastnosti pyrolýzního plynu je malý a změny nejsou zásadního rázu.
5. Rychlosť ohřevu a zhuštění vsázkы ovlivňují vlastnosti dehtu, protože zvyšují hustotu a mění jeho složení.

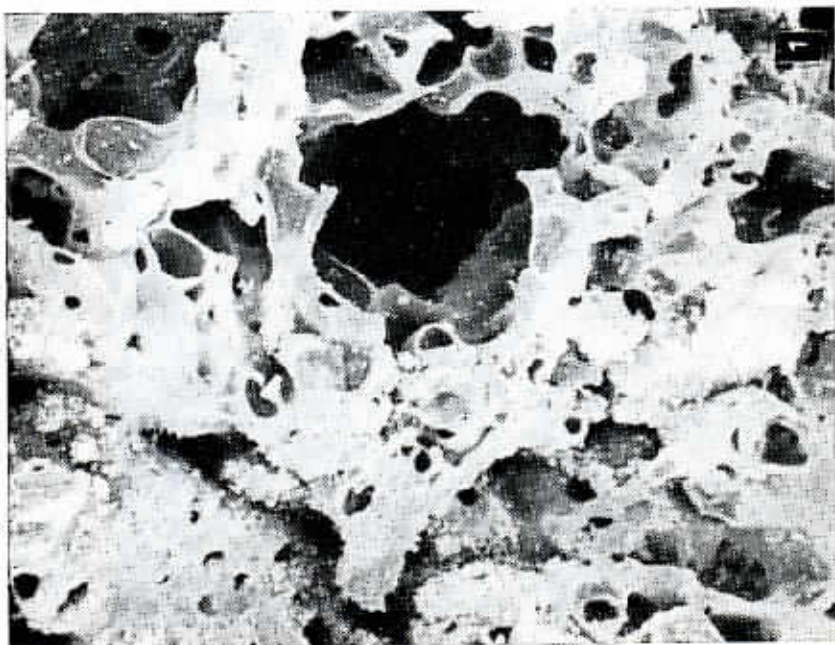
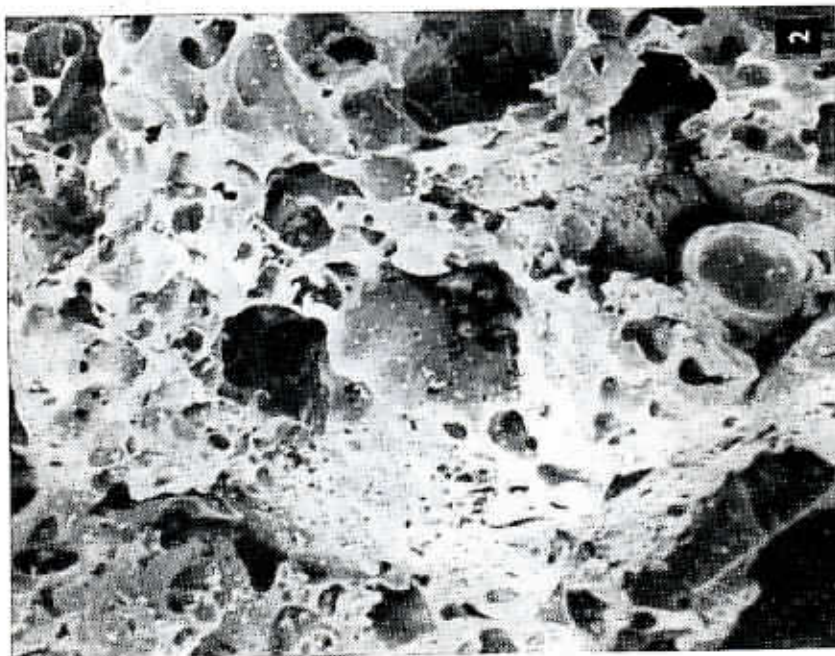
K tisku doporučili A. Dubanský a V. Káš

Literatura

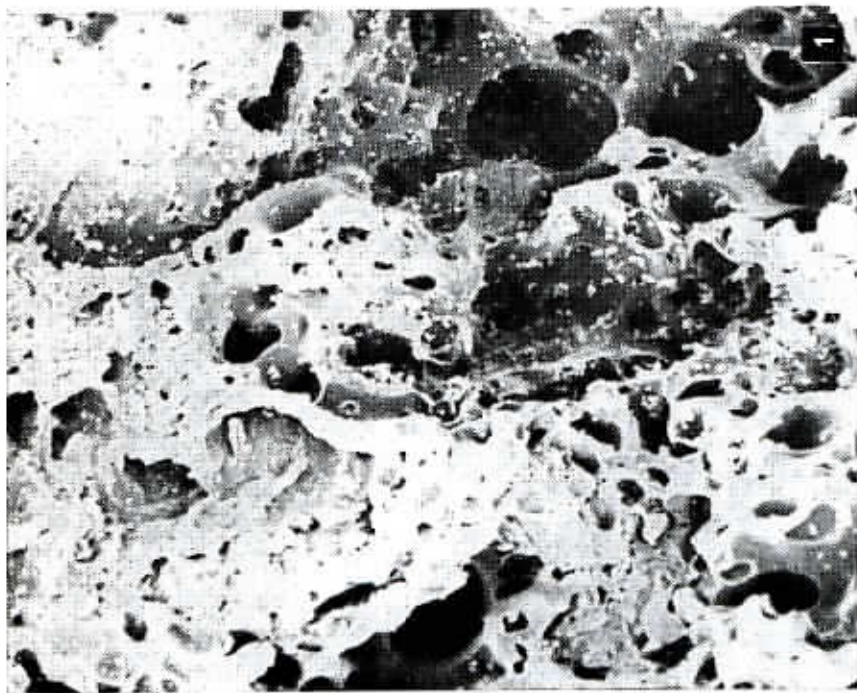
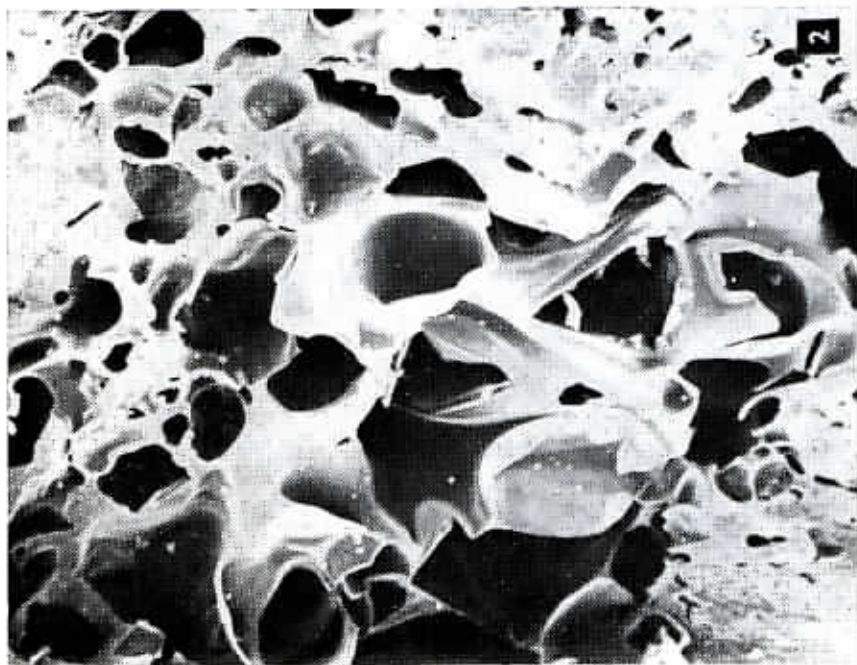
- Buchtele, J. - Brož, L. - Fiala, B. - Pecha, J. (1983): Tvorba kapalných pyrolyzních produktů a jejich vlastnosti. — Uhlí, 31, 9, 343—346. Praha.
- Buchtele, J. - Brož, L. - Hájek, M. - Straka, P. (1984): Vliv tepelného režimu koksovacího procesu na množství a vlastnosti produktů. — Acta montana, 66, 71—120. Praha.
- Buchtele, J. - Hájek, M. (1985): Vliv rychlosti ohřevu na fyzikální vlastnosti koksu z laboratorního modelového koksování. — Uhlí, 33, 9, 344—349. Praha.
- Echterhoff, H. (1962): Der Einfluß der Verkokungsgeschwindigkeit und der Koksendtemperatur auf die Eigenschaften des Kokses. — Glückauf, 98, 10, 567—577. Essen.
- Gluzman, L. D. - Edel'man, I. I. (1957): Laboratornyj kontrol' koksochimickogo proizvodstva. — Metallurgizdat. Char'kov.
- Grjaznov, N. S. (1976): Osnovy teorii koksovaniya. — Metallurgija. Moskva.
- Košina, M. - Heppner, P. (1984): Vlastnosti uhlí v koksotvorném procesu. — Ústav pro výzkum a využití paliv. Praha.
- Patrick, J. W. (1981): Studies of the factors controlling the formation and development of the porous structure of coke. — Information symposium Coke oven Techniques. Luxembourg.
- Sironi, G. (1981): Coke and coal in the changing technology of the blast furnace. — Information symposium Coke oven Techniques. Luxembourg.
- Straka, P. - Buchtele, J. (1983): Vliv rychlosti ohřevu černých uhlí na obsah síry v koksech. — Chem. Prům., 33, 5, 240—243. Praha.



1. Snímek lomové plochy koksu ze sypané vlnky uhlí kádu 422 vzniklého při rychlosti ohřevu $2.9^{\circ}\text{C}/\text{min}$.
Zvětšeno $50\times$, rastrovací elektromový mikroskop. Snímky v příl. I, II a snímek 1 v příl. III byly pořízeny rovněž z koksů
z vlnky vlnky, stejným způsobem, avšak koksy se liší hodnotou rychlosti ohřevu, při které byly získány
2. Lomová plocha koksu — rychlosť ohřevu $4.0^{\circ}\text{C}/\text{min}$.



1. Lomová plocha koksu — rychlosť ohňa $5,1^{\circ}\text{C}/\text{min}$
2. Lomová plocha koksu — rychlosť ohňa $11,9^{\circ}\text{C}/\text{min}$



1. Lomová plocha kohsu — rychlosť ohrevu $14,3^{\circ}\text{C}/\text{min}$

2. Snímek lomové plochy kohsu ze sypané suché vsázký ubí kódru d22 vznikleho pri rychlosťi ohrevu $2,7^{\circ}\text{C}/\text{min}$. Zvěšeno $50\times$, rastrovací elektronový mikroskop. Snímky v pril. IV byly pořízeny rovněž z koksu ze suché vsázký, avšak koksy se liší hodnotou rychlosti ohrevu, při které byly získány



Všechny fotografie P. Štreká



1. Lomová plocha koksu — rychlosť ohrevu $5,2^{\circ}\text{C}/\text{min}$
2. Lomová plocha koksu — rychlosť ohrevu $7,7^{\circ}\text{C}/\text{min}$

Pyrolysis of coal in the Ostrava-Karviná district

(Summary of the Czech text)

Pavel Straka

Received July 13, 1987

For the use of marginal, less readily coking coal types it is necessary to investigate more profoundly their properties, notably those related to the coke-forming process. In the described case, less readily coking coal (international code 422) from the Ostrava-Karviná district was pyrolyzed on a model coking unit with programmed regime of heating of coal charge, with capture of all products, and with automatic non-stop scanning of temperatures in the wall and in the axis of the pyrolysis reactor, as well as in the space under the stopper of the reactor (where volatile pyrolysis products were escaping). The influence of the velocity of heating of coal and of the density of the coal charge on the physical properties and on the chemical composition of the coke, gas, and tar, and the mass balance of the coking process (primary products), and finally the influence of the mentioned parameters on the texture of coke were measured.

The heating velocity of the coal influenced the distribution of the coal substance among the pyrolysis products — gas, tar, and coke — notably between gas and tar. An important role was played here by the value of the volume velocity of the outflow of crude gas from the reactor and the temperature difference between the wall and the inner part of the reactor at high velocity of heating. The heat disintegration of the substances released by pyrolysis occurred in the layer of the coal charge and not in the space under the stopper of the reactor. The products can then be characterized as primary products.

The coke that had been formed at dry charge — top charging method (i.e. a charge with higher density) had a greater mechanical strength and structural strength and lesser abradability than the coke from the wet charge (top charging method). The increase of the velocity of heating of coal caused an increase of the structural strength of the resulting coke.

From the viewpoint of using coke in the blast furnace process, the reactivity of coke to carbon dioxide is very significant; it is determined

to a great extent by the proportion of coarse pores, i.e. of pores in the area of the largest macropores. The proportion of coarse pores was evaluated by using photographs of the fracture surface of cokes from the scanning electron microscope and by the subsequent analysis of the image. The proportion of coarse pores decreases (in cokes of the wet and also dry charge) with the increasing velocity of the heating. It hence results that with the increasing velocity of the heating of coal the reactivity of the obtained coke decreases (in less readily coking coal), which also provides a favourable prerequisite for the improvement of the mechanical properties of coke after the reaction with CO₂ in the blast furnace process.

The higher velocity of the heating of coal and the greater density of the charge (together with the higher structural strength) increase the average thickness of the pore walls of the resulting coke.

The influence of the velocity of heating of the coal and of the increased density of the charge on the composition and physical properties of the obtained pyrolysis gas was small and the changes were not of a fundamental character. Also the chemical composition of the coke did not substantially change in consequence of the change of the considered parameters. On the contrary, the velocity of the heating and the densifying of the charge distinctly influenced the properties of the resulting tar, because the higher density of the charge caused an increase of the density of tar, the increase of its aromaticity and the change of its composition.

Přeložila H. Šilarová

Explanation of tables

- Table 1. Characterization of the code 422 coal from the Československá armáda Mine, Ostrava-Karviná district.
Table 2. Conditions of the pyrolysis of the coal samples used.
Table 3. Mass balance of the code 422 coal pyrolysis for dry charges.
Table 4. Mass balance of code 422 coal pyrolysis for wet charges (approx. 11 % water content).
Table 5. Texture characterizations and mechanical properties of cokes at dry charge of code 422 coal.
Table 6. Textural characterizations and mechanical properties of cokes from wet charge of code 422 coal.
Table 7. Chemical composition of cokes from pyrolysis of code 422 coal.
Table 8. Elementary analysis of tars from the dry and wet charges of code 422 coal.

Explanation of text-figures

1. Heating curves at code 422 coal pyrolysis.
A — course of temperature near wall of reactor, B — in axis of reactor, C — under stopper of reactor.
2. Curve of degasification of code 422 coal. The gas volume was recorded at laboratory temperature.
3. Dependence between the yield of gas (curve A), of crude anhydrous tar (B) and reaction water (C) on the velocity of the heating of the dry charge.
4. Dependence of the average volume velocity of the outflow of crude gas from the reactor ($v_{vol.}$) at pyrolysis of dry charge on the velocity of heating.
After exceeding the velocity of about $6^{\circ}\text{C}/\text{min}$ the $v_{vol.}$ began to stagnate (it limited).
5. Similar dependence as in fig. 4, here for wet charge.
6. Dependence of the yield of gas (curve A), of crude anhydrous tar (B), and reaction water (C) on the velocity of heating in the 350 — 550°C interval for wet charge.
7. Dependence of the mean grain of unstabilized total coke (mm) on the velocity of the heating within the 350 — 550°C interval of the dry (curve 1) and wet (2) charges.
8. Proportion of coking dust (0—10 mm) in the unstabilized total coke in dependence on the velocity of heating in the interval 350 — 550°C of dry (curve 1) and wet (2) charges.
9. Dependence of the strength of coke [in text R_{20}^{50}] and its abradability [in text R_{10}^{500}] on the velocity of heating in the interval 350 — 550°C of the dry (curve 1, 1—1) and wet (2, 2—2) charges.
10. Dependence of the porosity of coke P_f of the dry (curve 1) and the wet (2) charges on the velocity of heating in the 350 — 550°C interval.
11. Dependence of the porosity of coke P_a from the dry (curve 1) and wet (2) charges on the velocity of heating in the 350 — 550°C interval.
12. Dependence of the structural strength of coke from the dry (curve 1) and wet (2) charges on the velocity of heating in the 350 — 550°C interval.
13. Average thickness of the wall of coarse pores in dependence on the velocity of heating between 350 — 550°C for the cokes from the wet charge (top charging method).
14. Porosity of the coarse pores in dependence on the velocity of heating between 350 — 550°C for cokes from the wet charge (top charging method).
15. Average thickness of the wall of the coarse pores in dependence on the velocity of heating between 350 — 550°C for cokes from the dry charge (top charging method).
16. Porosity of coarse pores in dependence on the velocity of heating between 350 — 550°C from the dry charge (top charging method).
17. Dependence of the density of the crude anhydrous tar from code 422 coal pyrolysis on the velocity of heating in the 350 — 550°C interval. Curve 1 — tars from dry charge, 2 — tars from wet charge.
18. Dependence of the content of hydrogen in the crude anhydrous tar on the velocity of heating of the dry (curve 1) and wet (2) charges.

Explanation of plates

Pl. I

1. Picture of fracture surface of coke from the wet charge of code 422 coal [top charging method] at heating velocity $2.9^{\circ}\text{C}/\text{min}$ — $\times 50$. Scanning electron microscope. Photographs on pls. I, II and photograph 1 on pl. III were also made from cokes from wet charge, in the same way, but the cokes differ in the value of the heating velocity at which they were obtained.
2. Fracture surface of coke — velocity of heating $4.8^{\circ}\text{C}/\text{min}$.

Pl. II

1. Fracture surface of coke — velocity of heating $5.1^{\circ}\text{C}/\text{min}$.
2. Fracture surface of coke — velocity of heating $11.9^{\circ}\text{C}/\text{min}$.

Pl. III

1. Fracture surface of coke — velocity of heating $14.3^{\circ}\text{C}/\text{min}$.
2. Fracture surface of coke from the dry [top charging method] charge from the code 422 coal formed at velocity of heating of $2.7^{\circ}\text{C}/\text{min}$. $\times 50$, scanning electron microscope. Photos on pl. IV were also made from cokes of the dry charge, but the cokes differ in the velocity of heating at which they were obtained.

Pl. IV

1. Fracture surface of coke — velocity of heating $5.2^{\circ}\text{C}/\text{min}$.
2. Fracture surface of coke — velocity of heating $7.7^{\circ}\text{C}/\text{min}$.

All photographs by the author

Пиролиз угля из Остравско-Карвинского угленосного района

Модельный пиролиз хуже коксующегося угля из Остравско-Карвинского угленосного района показал, что скорость нагрева угольной загрузки влияет на распределение угольной массы в отдельных продуктах, прежде всего в газе и смоле, на пористость кокса, наличие крупных пор, структурную прочность и толщину стенок пор. На физические свойства образовавшегося газа скорость нагрева влияет лишь незначительно, а наоборот плотность и состав смолы довольно значительно изменяются в зависимости от изменений этого параметра. Плотность загрузки оказывает принципиальное влияние на наличие крупных пор (следовательно, также на реактивность кокса), как показал анализ плоскостей излома кокса, а также на толщину стенок пор, что имеет значение для оценки механических свойств кокса после реакции с углекислым газом в течение доменного процесса. В результате повышения плотности загрузки повысилась плотность образовавшейся смолы и изменился ее состав, а физические свойства и состав газа изменились лишь незначительно.

Přeložil A. Kříž